

## 实验技术与方法

### 荧光定量 PCR 与常规 PCR 法检测 G II 型札幌样病毒的比较

曾爱华<sup>1</sup>, 金小宝<sup>2</sup>, 朱家勇<sup>2</sup>

(1. 广东药学院药科学院, 广东广州 510006; 2. 广东省生物活性药物研究  
重点实验室, 广东广州 510006)

**摘要:**目的 比较荧光定量 PCR 与常规 RT-PCR 法检测牡蛎中 G II 型札幌样病毒的灵敏度与准确性, 为该病毒检测提供适用的方法。**方法** 采用荧光定量 PCR 和 RT-PCR 方法, 分别检测牡蛎样品中的 G II 型札幌样病毒。**结果** 荧光定量 PCR 检测的灵敏度可达  $10^2$  拷贝/ $\mu\text{l}$ , 札幌样病毒呈阳性的牡蛎有 6 例, 阳性率为 4.72% (6/127); RT-PCR 的灵敏度为  $10^3$  拷贝/ $\mu\text{l}$ , 札幌样病毒呈阳性的牡蛎有 1 例, 阳性率为 0.79% (1/127)。**结论** 与 RT-PCR 方法比较, 荧光定量 PCR 是更为敏感准确的方法, 更适用于牡蛎中 G II 型札幌样病毒的检测。

**关键词:**牡蛎; G II 型札幌样病毒; 荧光定量 PCR; 常规 RT-PCR

中图分类号:R373.2 文献标识码:B 文章编号:1004-8456(2012)03-0000-00

### Comparison of FQ- PCR and conventional RT-PCR method for the detection of G II SLVs

Zeng Aihua, Jin Xiaobao, Zhu Jiayong

(Pharmacy College of Guangdong Pharmaceutical University, Guangdong Guangzhou 510006, China)

**Abstract: Objective** To compare the sensitivity and accuracy of FQ-PCR and conventional RT-PCR method for the detection of G II SLVs in oyster. **Methods** G II SLVs in oyster was detected by FQ-PCR and conventional RT-PCR.

**Results** The sensitivity for the detection of G II SLVs in oyster samples by FQ-PCR was  $10^2$  copy/ $\mu\text{l}$  and that by conventional RT-PCR was  $10^3$  copy/ $\mu\text{l}$ . The positive rate for FQ- PCR was 4.72% (6/127) and that for conventional RT-PCR was 0.79% (1/127) ( $P < 0.05$ ). **Conclusion** FQ- PCR is more suitable for the detection of G II SLV in oyster.

**Key words:** Oyster; G II SLVs; FQ-PCR; conventional RT-PCR

札幌样病毒(Sapporo-like viruses, SLVs)属于杯状病毒科, 能引起人类非菌性急性胃肠炎的暴发流行, 主要是通过污染的贝类产品进行传播<sup>[1-2]</sup>。札幌样病毒有 G I、G II、G III、G IV、G V 5 个亚型, 其中 G II 型 SLVs 危害性较大<sup>[3]</sup>。目前, 常规 RT-PCR 是检测 SLVs 最常用的方法, 但贝类中的札幌样病毒含量较低, 难以被检测出来, 故国内很少报道<sup>[4]</sup>。而荧光定量 PCR 方法具有扩增效率高、结果准确等特点, 已被广泛用于病毒和细菌等检测<sup>[5-6]</sup>。为此, 本研究用荧光定量 PCR、常规 PCR 法同时检测牡蛎中 G II 型札幌样病毒, 进行比较分析, 得出更适合牡蛎中 G II 型 SLVs 的检测方法。

## 1 材料与方法

### 1.1 材料

收稿日期:2011-12-14

基金项目:广东省科技计划资助项目(2006B36008001)

作者简介:曾爱华 女 副教授 博士 研究方向为生物制药与分子检测 E-mail:zah1025@163.com

通信作者:朱家勇 男 教授 博导

本试验 127 份牡蛎样品采自广州市水产品市场, 采样时间为 2007 年 10 月至 2009 年 9 月。GiBCO 公司 Trizol 试剂, TaKaRa 公司的 PrimeScript<sup>TM</sup> one step RT-PCR 试剂盒, 中山大学达安基因公司荧光定量 PCR 反应试剂, 美国 ABI Prism7000 荧光定量 PCR 扩增仪。

### 1.2 引物和探针的设计

针对 G II 型札幌样病毒同源基因序列, 用 Bioedit 软件设计引物及探针, 由 Invitrogen 公司合成。SLVs 基因引物上游是: reccactcaaggatcagacayc; 下游是: traccegcagcaaaacahtchc; TaqMan 探针为: FAM-tcagcggtgtrgadcttgcattsc-TAMRA。引物和探针序列方向为 5'至 3'; r = a or g; y = c or t; h = a, c or t; d = a, g or t; s = c or g。扩增片段长 116 bp。

### 1.3 污染了不同浓度札幌样病毒的牡蛎

在人工污染病毒前, 先将牡蛎放在流动水中处理 8 h, 尽量去除贝类可能携带的污染物。然后将 G II 型 SLVs 阳性质粒按 10 的次方梯度稀释( $10^6$  ~  $10^1$ ), 依次人工污染到贝类中, 37 °C 孵育 1 h。

### 1.4 牡蛎样品中 RNA 提取和 cDNA 合成

参考有关文献检测方法<sup>[7-8]</sup>,取牡蛎消化道组织,先用pH9.0甘氨酸缓冲液快速匀浆3 min,然后4℃6 000 r/min离心30 min,再分别用8%和16%PEG6000沉淀,最后加入1 ml的Trizol试剂提取RNA,灭菌DEPC双蒸水溶解RNA,-70℃保存。

### 1.5 常规RT-PCR反应

用TaKaRa公司的PrimeScript<sup>TM</sup> one step RT-PCR kit进行常规RT-PCR反应。PCR反应总体积为50 μl,体系组份为:5 μl 10×one step RT-PCR Buffer,1 μl dNTP mixture,上下游引物各20 pmol,3U TaKaRa EX Taq tm HS, 30 ng RNA, 0.5 μl PrimeScript<sup>TM</sup> RTase, 1 μl RNase inhibitor,用灭菌dH<sub>2</sub>O补足到50 μl体积,反应条件为:93℃/40 s、53℃/30 s、72℃/45 s,共35个循环,72℃延伸10 min。反应完毕后取5 μl PCR产物在2%的琼脂糖凝胶中电泳鉴定。

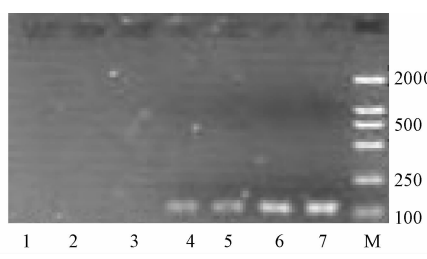
### 1.6 荧光定量PCR反应

在50 μl反应体系中,含5x定量PCR buffer 10 μl,上、下游引物分别各15 pmol/μl,探针10 pmol/μl,Taq酶3U,dNTP 20 pmol/μl和100 ng的cDNA,将已克隆好的G II型SLVs质粒模板稀释做荧光定量PCR标准曲线,在ABI Prism7000型实时检测扩增仪上进行扩增,多次实验优化后确定,G II型SLVs反应条件为:93℃预变性3 min,93℃变性30 s,53℃退火40 s,共做40个循环。检测结果根据扩增曲线由计算机软件自动给出。

## 2 结果

### 2.1 常规RT-PCR反应的灵敏度

用从人工污染的牡蛎中提取的G II型札幌样病毒RNA作为模板进行常规PCR扩增,重复3次。结果显示, $10^4 \sim 10^6$ 拷贝检出率为3/3, $10^3$ 拷贝检出率为1/3, $10^1$ 和 $10^2$ 拷贝检出率为0/3,因此常规RT-PCR反应的灵敏度为 $10^3$ 拷贝。产物经2%琼脂糖凝胶电泳检测(图1)。



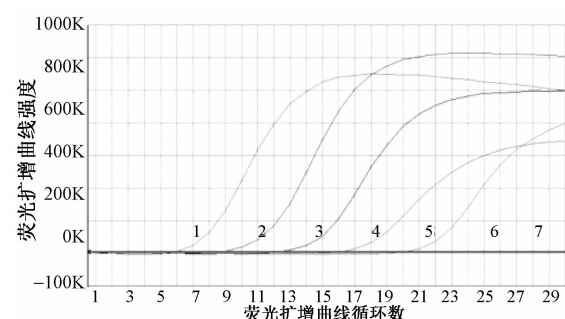
1:阴性对照;2-7:浓度为 $10^1 \sim 10^6$ 拷贝/μl的G II型SLVs;M:DNA分子量标准(bp)

图1 常规RT-PCR的凝胶电泳图

Figure 1 Agarose gel electrophorogram of conventional RT-PCR

### 2.2 荧光定量PCR的灵敏度

用从人工污染的牡蛎中提取的札幌样病毒RNA作为模板进行荧光定量PCR扩增。结果显示,阴性对照和 $10^1$ 拷贝/μl浓度无荧光增长,而 $10^2$ 拷贝/μl以上的浓度均有明显的荧光增长,因此该荧光定量PCR的检测灵敏度为 $10^2$ 拷贝/μl。



1-6 分别为污染了 $10^6$ 到 $10^1$ 拷贝/μl G II型SLVs的牡蛎类样品;7为阴性对照

图2 牡蛎样品G II型SLVs的荧光定量PCR动力学扩增曲线

Figure 2 Kinetic enrichment curve of FQ-PCR for G II SLVs in oyster

### 2.3 荧光定量PCR及常规RT-PCR法检测牡蛎中札幌样病毒的比较

分别用常规RT-PCR和荧光定量PCR检测了127例牡蛎标本。结果显示,常规RT-PCR检测为阳性的有1例(0.79%),荧光定量PCR检测为阳性的有6例(4.72%),后者检出率显著高于前者( $P < 0.05$ )。为了验证检测的准确性,随机抽取3个荧光定量PCR阳性样品,进行序列测定,结果显示全部为G II型札幌样病毒。

表1 荧光定量PCR与常规RT-PCR检测结果比较

Table 1 Comparison of results for G II SLVs in oyster detected by conventional RT-PCR and FQ-PCR

样本	例数	RT-PCR		FQ-PCR	
		阳性例数	阳性率	阳性例数	阳性率
牡蛎	127	1	0.79%	6	4.72%

## 3 讨论

在札幌样病毒5个基因型中,GI型、GII型、GIV型和GV型病毒主要感染人,GIII型病毒主要感染猪,GI型、GII型是人类札幌样病毒的主要基因型。其中,GII型札幌样病毒基因序列多变,既不能进行组织培养,电镜检测不易被发现,又未能建立合适的动物模型<sup>[9-10]</sup>。因此,很需要寻找适合GII型札幌样病毒快速检测的方法。而荧光定量PCR技术比常规RT-PCR多使用了一条特异性的双标记荧光探针,不但具有高度的基因扩增效率,而且灵敏度高、特异性好,非常适合浓度低的贝类样品检测<sup>[11-12]</sup>。

为此,本实验将浓度为 $10^6\sim10^1$ 拷贝的G II型SLVs阳性质粒污染到牡蛎中,分别进行荧光定量PCR和常规RT-PCR扩增。结果发现,常规RT-PCR最低检测限为 $10^3$ 拷贝数;荧光定量PCR法最低检测限则为 $10^2$ 拷贝数,灵敏度比常规RT-PCR高10倍,而检测方法敏感程度对于浓度较低的札幌样病毒监测是很重要的。

本实验分别用荧光定量PCR和常规RT-PCR对127份牡蛎标本进行G II型札幌样病毒检测,结果显示,荧光定量PCR检测为阳性的有6例,常规RT-PCR检测为阳性的有1例,前者检出率显著高于后者。因此荧光定量PCR法是更适合牡蛎中G II型札幌样病毒快速检测的方法。

## 参考文献

- [1] VINJÉ J, DEIJL H, van der HEIDE R, et al. Molecular detection and epidemiology of Sapporo-like viruses [J]. *J Clin Microbiol*, 2000, 38(2):530-536.
- [2] NAKAGAWA-OKAMOTO R, ARITA-NISHIDA T, TODA S, et al. Detection of multiple sapovirus genotypes and genogroups in oyster-associated outbreaks [J]. *Jpn J Infect Dis*, 2009, 62(1):63-66.
- [3] 方肇寅,谢华萍,吕红霞,等. 1999~2005年我国婴幼儿人杯状病毒腹泻研究[J].*病毒学报*,2007,23(1):9-15.
- [4] ATMAR R L, NEILL F H, LE GUYADER F S. Detection of human caliciviruses in fecal samples by RT-PCR [J]. *Methods Mol Biol*, 2011, 665:39-50.
- [5] 唐振柱,孙贵娟,黄彦,等. 实时荧光PCR在食源性致病菌监测中的应用研究[J].*中国食品卫生杂志*,2011,22(4):332-335.
- [6] PÉREZ-SAUTU U, GUIX S, PINTÓ R M, et al. Quantification and genotyping of human sapoviruses in the Llobregat river catchment, Spain [J]. *Appl Environ Microbiol*, 2011, 77(3):1111-1114.
- [7] UEKI Y, SHOJI M, OKIMURA Y, et al. Detection of Sapovirus in oysters [J]. *Microbiol Immunol*, 2010, 54(8):483-486.
- [8] KINGSLEY D H. An RNA extraction protocol for shellfish-borne viruses [J]. *J Virol Methods*, 2007, 141(1):58-62.
- [9] JIANG X, HUANG P W, ZHONG W M, et al. Design and evaluation of a primer pair that detects both Norwalk- and Sapporo-like caliciviruses by RT-PCR [J]. *J Virol Methods*, 1999, 83(1-2):145-154.
- [10] KITAJIMA M, HARAMOTO E, PHANUWAN C, et al. Genotype distribution of human sapoviruses in waste water in Japan [J]. *Appl Environ Microbiol*, 2011, 77(12):4226-4229.
- [11] SUFFREDINI E, PEPE T, VENTRONE I, et al. Norovirus detection in shellfish using two Real-Time RT-PCR methods [J]. *New Microbiol*, 2011, 34(1):9-16.
- [12] SHIGEMOTO N, FUKUDA S, TANIZAWA Y, et al. Detection of norovirus, sapovirus, and human astrovirus in fecal specimens using a multiplex reverse transcription-PCR with fluorescent dye-labeled primers [J]. *Microbiol Immunol*, 2011, 55(5):369-372.

## 实验技术与方法

### 固相萃取-高效液相色谱法同时测定食品中12种合成色素

奚星林,邵仕萍,徐娟,邹志飞,吴宏中  
(广东检验检疫技术中心,广东广州 510623)

**摘要:**目的 建立一种固相萃取-高效液相色谱法同时测定食品中12种合成色素(柠檬黄、亮黑、日落黄、诱惑红、坚牢绿、丽春红2R、荧光素钠、丽春红3R、专利蓝、金黄粉、荧光桃红、孟加拉玫瑰红)。方法 改进GB/T 5009.35—2003《食品中人工合成着色剂的测定方法》试样处理方法,使用100~200目聚酰胺固相萃取柱对样品进行净化、浓缩,以甲醇-0.02 mol/L乙酸铵溶液为流动相,梯度洗脱,多波长检测定量。结果 线性范围分别为:柠檬黄、亮黑、日落黄、诱惑红、坚牢绿、丽春红3R、专利蓝、金黄粉、荧光桃红0.1~30.0 μg/ml,丽春红2R 1.0~30.0 μg/ml,荧光素钠0.5~30.0 μg/ml,孟加拉玫瑰红2.0~30.0 μg/ml。12种合成色素的线性关系良好,相关系数0.9993~0.9999,回收率89.1%~100.4%,RSD 1.6%~8.2%,检出限为0.58~3.0 mg/kg。结论 该方法简便、快捷、灵敏度高、准确率强、重现性好,适用于食品中12种合成色素的定量分析。

**关键词:**合成色素;高效液相色谱法;固相萃取;食品

**中图分类号:**TS202 ; O657.72   **文献标识码:**B   **文章编号:**1004-8456(2012)03-0000-00

收稿日期:2012-01-18

基金项目:中国检验检疫科学院基本科研业务费专项基金资助项目(2009JK011);广东省科技基础条件建设项目建设项目(粤科财字[2008]658,[2010]185)

作者简介:奚星林 男 高级工程师 研究方向为食品添加剂检测和放射性检测 E-mail:cqxxl@163.com